

ZnSnO₃透明导电薄膜:溶胶-凝胶法制备及性能

季伶俐¹ 贺蕴秋^{*1,2} 李乐¹

(¹同济大学材料科学与工程学院,上海 200092)

(²同济大学先进土木工程材料教育部重点实验室,上海 200092)

摘要:采用溶胶-凝胶(Sol-Gel)过程和旋涂法制备了Zn-Sn-O系统薄膜。通过对干凝胶的热重-差示扫描同步热分析(TG-DSC),研究了干凝胶在烧结过程中的反应历程。采用X射线衍射(XRD)、X射线光电子能谱(XPS)、场发射扫描电镜(FE-SEM)以及紫外-可见透过率(UV-Vis)等表征了烧结后薄膜的晶相、晶格缺陷、微观形貌以及紫外-可见光透过率。本文还研究了烧结温度、N₂气氛热处理以及组成变化对薄膜电阻率的影响,结果表明:偏锡酸锌ZnSnO₃晶体薄膜具有较低的电阻率;当n_{Zn}/(n_{Zn}+n_{Sn})=50.3at%时,薄膜的电阻率达极小值,约为8.0×10² Ω·cm。偏锡酸锌ZnSnO₃晶体的导电机理研究表明:晶格中间隙阳离子含量的增加有利于薄膜电阻率的降低,而氧空位的形成则使其电阻率升高。薄膜的紫外-可见光透过率(UV-Vis)表明:偏锡酸锌ZnSnO₃晶体薄膜在400~900 nm的可见光波段透过率可达80%以上。

关键词:ZnSnO₃;薄膜;溶胶-凝胶法;透明性;导电材料

中图分类号:0614.24¹; 0614.43²

文献标识码:A

文章编号:1001-4861(2012)03-0437-08

Transparent and Conductive Properties of ZnSnO₃ Crystal Films Prepared by Sol-Gel Method

JI Ling-Li¹ HE Yun-Qiu^{*1,2} LI Le¹

(¹School of Material Science and Engineering, Tongji University, Shanghai 200092, China)

(²Key Laboratory of Advanced Civil Engineering Materials of Ministry of Education, Tongji University, Shanghai 200092, China)

Abstract: The Zn-Sn-O system thin films were fabricated by sol-gel process and spin coating technique on silica glasses. The reaction of dry gel during sintering was characterized by Themogravimetry-Differential Scanning Calorimetry synchronous thermal analysis (TG-DSC). And the crystalline phases, the defects, the morphology and the transmittance of films after sintering in air were characterized by XRD, XPS, FE-SEM and UV-Vis. The resistivity of the films is affected by the sintering temperature in air, the treatment in N₂ and the film composition. The ZnSnO₃ crystal has a low resistivity and the minimum resistivity (about 8.0×10² Ω·cm) is obtained when n_{Zn}/(n_{Zn}+n_{Sn}) is equal to 50.3at%. The electric property testing results also show that the defect of interstitial cations in ZnSnO₃ lattice is beneficial for a lower resistivity, meanwhile the oxygen vacancies in the lattice leads to an opposite result. The UV-Vis analysis indicates that the transmittance of ZnSnO₃ crystal films is more than 80% in the range of 400~900 nm.

Key words:ZnSnO₃; thin films; Sol-Gel process; transparency; conductive material

近年来,透明导电氧化物(Transparent and Conductive Oxides, TCOs)薄膜因其良好的导电性和对可见光波段的高透明性引起了诸多关注。目前,在

众多TCO薄膜中,研究得最为成熟的当属In_{2-x}Sn_xO₃(ITO)薄膜,其最低电阻率可达10⁻⁴ Ω·cm^[1]。对可见光的透过率可达到80%以上,现已进入商业化投产

收稿日期:2011-08-16。收修改稿日期:2011-10-31。

国家自然科学基金(No.50672066)资助项目。

*通讯联系人。E-mail:heyunqiu@tongji.edu.cn, Tel: 021-69580293

阶段。以 ITO 为代表的 TCO 薄膜被广泛应用于太阳能电池的透明电极, 平板显示器, 气体传感器以及 Low-E 玻璃等领域^[2]。

尽管 ITO 薄膜有着如此优异的导电性和可见光透过率, 但在实际应用中还是存在不少问题。比如: ITO 薄膜在还原气氛热处理后会还原出金属 In, 这些金属 In 容易向器件中扩散, 影响器件的性能^[3]。同时 In 属于稀有元素, 价格昂贵, 这与市场对 ITO 薄膜的巨大需求形成尖锐的矛盾。因此寻找性价比更高的材料以满足市场需求是 TCO 薄膜研究的一个重要课题^[4]。

目前用作 TCO 薄膜的典型金属阳离子均具有 $(n-1)d^{10}ns^0$ ($n=4$ 或 5) 外层电子构型, 这种金属阳离子的导带是由球型对称的 ns^0 轨道构成^[4]。一般来说, 阳离子间较短的距离以及合适的排布有利于各阳离子中散布的 ns^0 轨道的重叠, 从而形成较宽的导带, 以此获得较大的载流子迁移率^[2]。此外, 该构型离子中满层的 d 电子层可避免因电子的 d-d 跃迁而产生对可见光的吸收, 使薄膜材料对可见光具有高透过率^[4]。理论上, 为保证对可见光的透明性, 薄膜材料的禁带宽度不应小于 3.1 eV^[4]。目前, 用于研究 TCO 薄膜的金属阳离子大都满足这种电子构型, 如: Zn^{2+} 、 Sn^{4+} 、 In^{3+} 和 Ga^{3+} 等等。

根据组分, TCO 薄膜可分为掺杂后的一元氧化物, 二元氧化物以及多元化合物系统。在过去的 30~40 年中, 研究得较多的是掺杂后的一元氧化物, 如 $In_2O_3:Sn$ ^[5,24]、 $ZnO:Al$ ^[6]、 $ZnO:Sn$ ^[7-8]、 $SnO_2:F$ ^[9] 和 $SnO_2:Sb$ ^[10] 等。近年来发展的二元氧化物, 主要包括 $Cd-Sn-O$ ^[11]、 $Zn-In-O$ ^[12]、 $Zn-Ga-O$ ^[13]、 $Zn-Sn-O$ ^[11,14-18] 和 $Ga-In-O$ ^[19] 等系统。为了达到 TCO 薄膜性能的多样性和可调性, 在二元氧化物基础上发展起来的多元化合物系统也逐渐受到关注, 包括: $Cd-Sb-In-O$ ^[20]、 $Zn-In-Ga-O$ ^[21]、 $Zn-Sn-In-O$ ^[22] 等。

近年来, $Zn-Sn-O$ 系统因其原料丰富廉价而受到重视。在 $Zn-Sn-O$ 系统中存在两种重要的二元化合物: 锡酸锌 Zn_2SnO_4 和偏锡酸锌 $ZnSnO_3$ 。关于锡酸锌 Zn_2SnO_4 薄膜的导电性能和导电机理已经有了不少研究。Jain 等^[14] 将 ZnO 和 SnO_2 同时溅射到玻璃基底上, 得到了结晶较好的锡酸锌 Zn_2SnO_4 薄膜, 所得薄膜的最低电阻率 ρ 约为 $1.12 \times 10^{-3} \Omega \cdot cm$ 。K·Kurz 等^[16-17] 用 Sol-Gel 法制得了结晶良好的锡酸锌 Zn_2SnO_4 薄膜, 通过还原气氛热处理后的薄膜最低电阻率 ρ 为 $0.42 \Omega \cdot cm$ 。锡酸锌 Zn_2SnO_4 晶体的导电机

理被广泛认为是基于晶格中的氧空位, 氧空位的形成提供了两个额外的高能量电子, 由此提高薄膜的导电性能。

目前关于偏锡酸锌 $ZnSnO_3$ 晶体的研究虽较少, 但有研究指出 $ZnSnO_3$ 晶体的导电性可优于锡酸锌 Zn_2SnO_4 晶体^[25]。至今得到的 $ZnSnO_3$ 薄膜最佳电阻率 ρ 约为 $4 \times 10^{-3} \Omega \cdot cm$ ^[25], 略高于锡酸锌 Zn_2SnO_4 薄膜。值得一提的是, 偏锡酸锌 $ZnSnO_3$ 薄膜多为溅射方法得到, 而采用溅射法得到的偏锡酸锌 $ZnSnO_3$ 晶体常和其它晶相共生^[18], 因而缺少关于这种晶体导电机理的研究。另外, Minami 等^[23] 的研究指出偏锡酸锌 $ZnSnO_3$ 的功函数可达 5.3 eV, 高于 ITO 薄膜 (4.7 eV), 这一较高的功函数对用 TCO 薄膜研制的 P-N 型太阳能电池有着重要的意义。

本工作采用 Sol-Gel 法得到了单一晶相的偏锡酸锌 $ZnSnO_3$ 薄膜, 通过导电性能的研究, 初步探讨了这一晶体薄膜的导电机理。

1 实验部分

1.1 原材料

溶剂乙二醇甲醚($HOCH_2CH_2OCH_3$), 前驱物二水合醋酸锌($Zn(Ac)_2 \cdot 2H_2O$)和五水合四氯化锡($SnCl_4 \cdot 5H_2O$), 稳定剂单乙醇胺($HOCH_2CH_2NH_2$, 简称 MEA), 均为分析纯(AR)。气氛处理薄膜时使用的 N_2 为高纯氮, 含量为 99.999%。薄膜的基底为购自上海石创石英玻璃有限公司的平板透明石英玻璃。

1.2 溶胶及干凝胶的制备

溶胶中阳离子总浓度 $c_{Zn} + c_{Sn} = 0.4 \text{ mol} \cdot L^{-1}$, 单乙醇胺(MEA)的浓度与阳离子总浓度的比值 $c_{MEA}/(c_{Zn} + c_{Sn}) = 0.9$ 。溶胶制备过程如下: 称取一定量 $Zn(Ac)_2 \cdot 2H_2O$, 溶于 $HOCH_2CH_2OCH_3$ 中, 室温下搅拌使溶液成白色悬浮液; 按比例加入 MEA, 溶液变为澄清透明后, 搅拌 15 min; 按比例加入 $SnCl_4 \cdot 5H_2O$, 搅拌至溶液呈无色透明。将溶液置于 80 °C 的水浴锅中冷凝回流 4 h, 得浅黄色均匀透明的溶胶。从上述溶胶中取出部分, 置于 120 °C 的烘箱中烘干(约 24 h), 最后得到褐色透明的干凝胶。

1.3 薄膜的制备

将上述溶胶在室温下密封静置 1 d 后镀膜。实验中使用的基底为 30 mm×30 mm 超净石英玻璃。采用旋涂法镀膜, 转速为 $2000 \text{ r} \cdot \text{min}^{-1}$; 每镀完一层后, 将薄膜在 300 °C 加热 10 min。以上过程重复 10 次。然后将上述薄膜在空气气氛中烧结, 升温速率为

2 K·min⁻¹,保温6 h。部分空气气氛烧结后的薄膜在450 °C的N₂气氛中保温3 h。

1.4 样品的结构和性能表征

干凝胶的热分析采用热重-差示扫描同步热分析仪(TG-DSC, STA449C Jupiter);薄膜的晶相分析采用全自动X射线衍射仪(XRD, D/max-rB 12 kW),衍射源为铜靶Cu K α , $\lambda=0.154$ 18 nm,电流为60 mA,电压为40 kV,采用石墨单色器和闪烁计数器,扫描速度为10°·min⁻¹;薄膜样品中元素Zn、Sn和O状态的表征采用X射线光电子能谱仪(XPS, PHI 5000C ESCA System),条件为Mg靶,高压14.0 kV,功率250 W;薄膜样品的微观形貌观察采用场发射扫描电镜(FE-SEM, Quanta 200FEG型);薄膜样品的方块电阻测试采用四探针仪(RTS-8);薄膜的紫外-可见光透过率测试采用紫外-可见吸收光谱仪(UV-22501PC),测试范围为200~900 nm。

2 结果与讨论

2.1 反应历程分析

图1是组成为 $n_{\text{Zn}}/(n_{\text{Zn}}+n_{\text{Sn}})=50.0\text{at}\%$ 干凝胶的TG-DSC曲线,图2为 $n_{\text{Zn}}/(n_{\text{Zn}}+n_{\text{Sn}})=50.0\text{at}\%$ 薄膜在不同温度烧结后的XRD图。在图1干凝胶的DSC曲线中一共有4个放热峰,前3个起始温度分别为443、514和589 °C,图1中最后1个放热峰的峰顶温度为869 °C,而其起始温度并不明显;由薄膜的XRD图可以推知:443 °C为六方纤锌矿ZnO(PDF 36-1451)的结晶温度;514 °C为金红石相SnO₂(PDF 21-1250)的结晶温度;589 °C为ZnO和SnO₂反应生成立方尖晶石相Zn₂SnO₄(PDF 24-1470)的温度;峰顶温度为869 °C的放热峰对应Zn₂SnO₄和SnO₂反应生成ZnSnO₃(PDF 28-1486)的热效应,可以判断其起

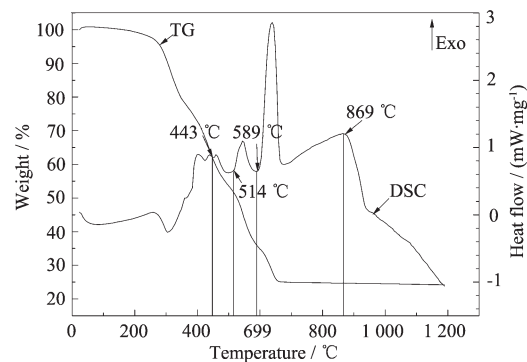


图1 $n_{\text{Zn}}/(n_{\text{Zn}}+n_{\text{Sn}})=50.0\text{at}\%$ 干凝胶的TG-DSC图

Fig.1 TG-DSC curves for the dry gel with $n_{\text{Zn}}/(n_{\text{Zn}}+n_{\text{Sn}})=50.0\text{at}\%$

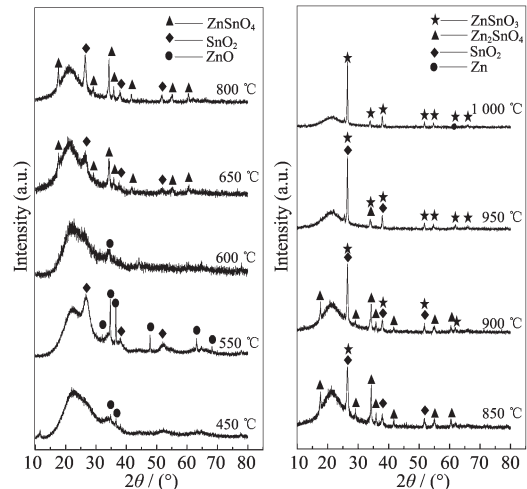
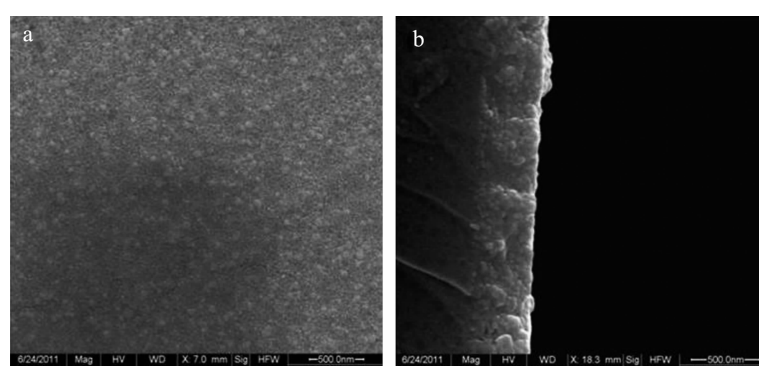


图2 $n_{\text{Zn}}/(n_{\text{Zn}}+n_{\text{Sn}})=50.0\text{at}\%$ 薄膜在不同温度烧结后的XRD图

Fig.2 XRD patterns for the films with $n_{\text{Zn}}/(n_{\text{Zn}}+n_{\text{Sn}})=50.0\text{at}\%$ heated at different temperatures in air

始反应温度为800到850 °C之间的某个温度值。

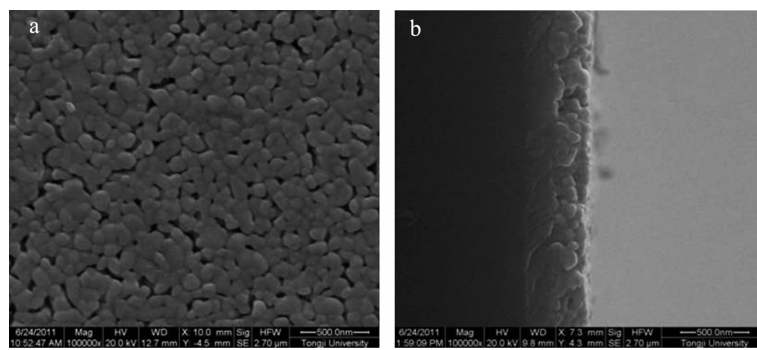
图3和图4分别为800和1 000 °C烧结后薄膜



(a) Surface FE-SEM image of the film; (b) Cross-sectional FE-SEM image of the film

图3 $n_{\text{Zn}}/(n_{\text{Zn}}+n_{\text{Sn}})=50.0\text{at}\%$ 的薄膜经800 °C保温6 h后的FE-SEM图

Fig.3 FE-SEM images of the film with $n_{\text{Zn}}/(n_{\text{Zn}}+n_{\text{Sn}})=50.0\text{at}\%$ heated at 800 °C for 6 h



(a) Surface FE-SEM image of the film; (b) Cross-sectional FE-SEM image of the film

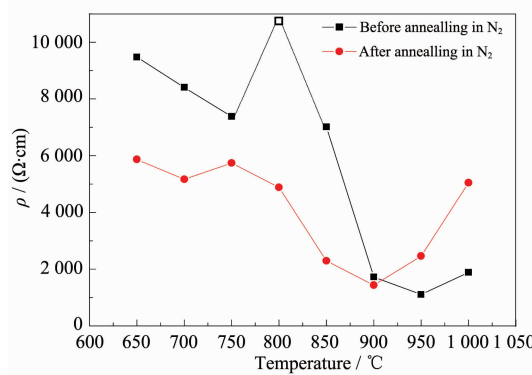
图4 $n_{\text{Zn}}/(n_{\text{Zn}}+n_{\text{Sn}})=50.0\text{at}\%$ 的薄膜经1000℃保温6 h后薄膜的FE-SEM图Fig.4 FE-SEM images of the film with $n_{\text{Zn}}/(n_{\text{Zn}}+n_{\text{Sn}})=50.0\text{at}\%$ heated in 1000 °C for 6 h

的表面(a)和断面(b)的形貌。根据图2的XRD分析结果,800℃烧结的薄膜为锡酸锌 Zn_2SnO_4 和 SnO_2 两种晶相的混合物,其中晶粒较大的应为 SnO_2 ,晶粒较小的为 Zn_2SnO_4 ;而1000℃烧结的薄膜由偏锡酸锌 ZnSnO_3 单一晶相构成。以上两个温度烧结后薄膜的厚度均约为410 nm。

2.2 电性能分析

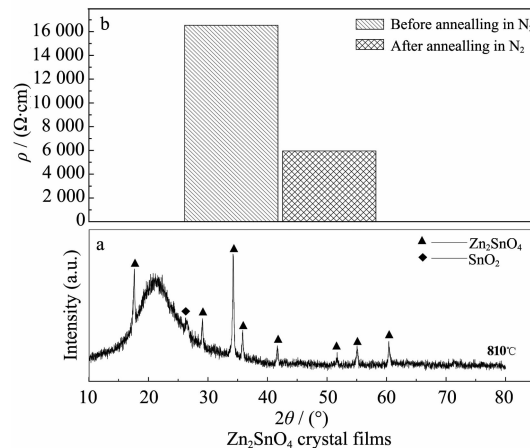
2.2.1 不同温度烧结后薄膜的电阻率

图5是组成为 $n_{\text{Zn}}/(n_{\text{Zn}}+n_{\text{Sn}})=50.0\text{at}\%$ 薄膜经不同温度烧结以及烧结后再经 N_2 气氛热处理的电阻率。从650~800℃,随着烧结温度的升高,薄膜的晶相为含量逐渐增大的锡酸锌 Zn_2SnO_4 和含量逐渐减少的 SnO_2 。在这段温度区间内, N_2 气氛热处理后薄膜的电阻率相对于 N_2 气氛热处理之前有较明显的降低。

图5 $n_{\text{Zn}}/(n_{\text{Zn}}+n_{\text{Sn}})=50.0\text{at}\%$ 薄膜经不同温度烧结以及烧结后再经 N_2 气氛热处理后的电阻率Fig.5 Resistivity of the films with $n_{\text{Zn}}/(n_{\text{Zn}}+n_{\text{Sn}})=50.0\text{at}\%$ heated at different temperatures in air for 6 h and followed by annealing in N_2

800℃烧结的薄膜,在未经 N_2 气氛热处理的条件下,其电阻率达极大值(因超出四探针仪的测量上限而无法给出测定值,其电阻率应大于 $10^4 \Omega \cdot \text{cm}$),而 N_2 气氛热处理后,其电阻率较未经 N_2 气氛热处理的薄膜有大幅降低。800℃以上,随着烧结温度的升高,未经 N_2 气氛热处理薄膜的电阻率大幅降低。当烧结温度高于900℃时,薄膜的电阻率甚至低于850℃烧结后经 N_2 气氛热处理的薄膜电阻率。此时,随着烧结温度的上升,薄膜中偏锡酸锌 ZnSnO_3 晶体含量增加并且结晶趋于完整。因此,800℃以上,随着烧结温度的升高,未经 N_2 气氛热处理薄膜电阻率的下降可以归结为偏锡酸锌 ZnSnO_3 晶体较好的导电性能。

图6为较纯的 Zn_2SnO_4 晶体薄膜的XRD图(a)及其在 N_2 气氛热处理前后电阻率的变化(b)。从图中

图6 Zn_2SnO_4 晶体薄膜的XRD图(a)及其在 N_2 气氛热处理前后电阻率的变化(b)Fig.6 XRD pattern for Zn_2SnO_4 crystal film (a) and the resistivity of the films before and after annealing treatment in N_2 (b)

可知,N₂气氛热处理后Zn₂SnO₄薄膜的电阻率较气氛热处理前有大幅降低,这与800℃烧结后得到的Zn₂SnO₄和SnO₂混合晶相薄膜N₂气氛热处理前后的电阻率变化是一致的。值得注意的是,经N₂气氛热处理后Zn₂SnO₄薄膜的电阻率低于未经N₂气氛热处理薄膜的电阻率;而烧结温度高于900℃,经N₂气氛热处理后薄膜的电阻率要高于未经N₂气氛热处理的薄膜。此现象显然源于温度高于900℃烧结后薄膜中的ZnSnO₃晶体。从Zn₂SnO₄晶体经N₂气氛热处理后电阻率下降和ZnSnO₃晶体经N₂气氛热处理后电阻率上升的截然不同的表现,可以推测这两种晶体具有不同的导电机理。

2.2.2 不同组成薄膜的电阻率

图7是n_{Zn}/(n_{Zn}+n_{Sn})偏离50.0at%薄膜(不经N₂气氛热处理)的电阻率。可以看到,Sn含量的增加不利于薄膜电阻率的降低(其中n_{Zn}/(n_{Zn}+n_{Sn})=49.5at%、49.6at%、49.7at%和49.8at%4种薄膜的电阻率均超出四探针仪的测量上限,其值大于10⁴Ω·cm);而适当提高Zn含量可使薄膜的电阻率有一定程度的下降:在n_{Zn}/(n_{Zn}+n_{Sn})=50.0at%~50.5at%的组分区间中,薄膜的电阻率先逐渐降低,到n_{Zn}/(n_{Zn}+n_{Sn})=50.3at%时达到极小值,约为8.0×10²Ω·cm,随后随着Zn含量的增加又逐渐上升。

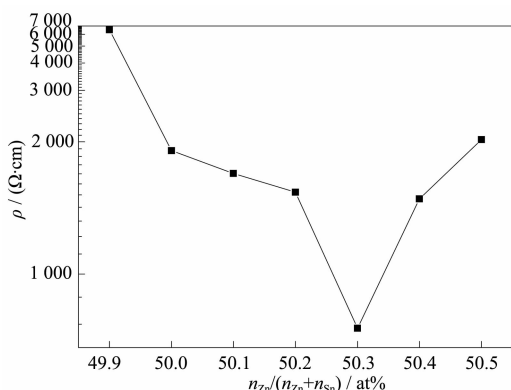


图7 不同组分的薄膜经1000℃烧结6 h(未经N₂气氛热处理)后的电阻率
Resistivity of the films with n_{Zn}/(n_{Zn}+n_{Sn})=49.5at%, 48.6at%, 49.7at% and 49.8at% were beyond the upper limit of four point probe, being greater than 10⁴Ω·cm

图7 不同组分的薄膜经1000℃烧结6 h(未经N₂气氛热处理)后的电阻率
Fig.7 Resistivity of the films with different n_{Zn}/(n_{Zn}+n_{Sn}) ratios heated at 1000℃ in air for 6 h without annealing treatment in N₂

2.3 偏锡酸锌ZnSnO₃晶体导电机理的初步探讨

为了探讨偏锡酸锌ZnSnO₃晶体的导电机理,我们用XPS分析了组成为n_{Zn}/(n_{Zn}+n_{Sn})=50.0at%,在

1000℃烧结的2个薄膜样品。其中一个样品为未经N₂气氛热处理的薄膜(Film-I),另一个样品为N₂气氛热处理后的薄膜(Film-II)。同时还分析了组成n_{Zn}/(n_{Zn}+n_{Sn})=50.3at%,在1000℃烧结,未经N₂气氛热处理的薄膜(Film-III)。

图8为上述3种薄膜中O1s区的XPS拟合谱。各状态O1s轨道的结合能分别为:529.60±0.3 eV,被归结为与晶格中四配位的间隙金属阳离子相邻的氧的电子结合能^[12],记为O^I;(530.45±0.3) eV,被归结为源于正常格点位置的氧^[14],记为O^{II};(531.40±0.3) eV,被归结为源于氧空位附近的氧^[14],记为O^{III};(532.40±0.3) eV,被归结为是薄膜表面因吸附水蒸气形成的O-H键中氧的电子结合能^[14],记为O^{IV}。

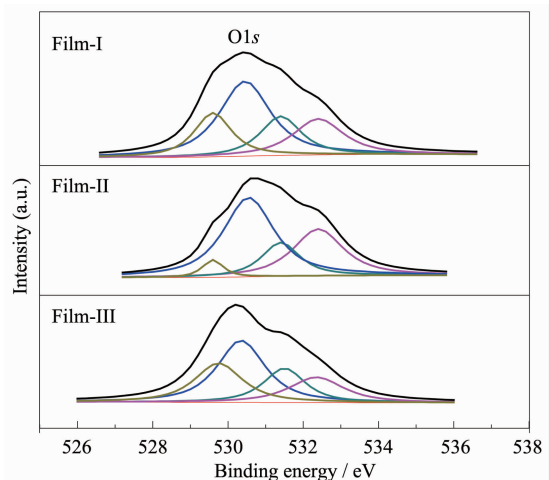


图8 不同薄膜中O1s区的XPS拟合谱
Fig.8 Peak fitting results of O1s narrow XPS spectra for different films

表1为根据图8的拟合结果而得到的4种状态氧的电子结合能及其相对含量。表1显示:正常格点位置的氧(O^{II})含量由未经N₂气氛热处理样品(Film-I)的43.08%上升至N₂气氛热处理后样品(Film-II)的50.19%;与间隙阳离子相邻的氧(O^I)含量由Film-I中的18.52%下降至Film-II的4.54%;氧空位附近的氧(O^{III})含量则由Film-I的18.03%上升至Film-II的19.01%;N₂气氛热处理后,薄膜的表面氧(O^{IV})含量有所增加,从Film-I的20.37%增加至Film-II的26.26%。

与此相反,在未经N₂气氛热处理的条件下,锌含量较高的样品(Film-III)中,正常格点位置的氧(O^{II})含量比正常比例偏锡酸锌(Film-I)的样品有所减少,由Film-I的43.08%减少至Film-III的39.05%;与间隙阳离子相邻的氧(O^I)含量则大大增加,由

表1 不同薄膜中O1s区的XPS拟合结果,包括O的各种状态的结合能和物质的量百分含量

Table 1 XPS data for O1s area of different films, including binding energies(eV) and relative area percentages(%)

	O ^I 1s	O ^{II} 1s	O ^{III} 1s	O ^{IV} 1s
Film-I	529.60 eV 18.52%	530.45 eV 43.08%	531.40 eV 18.03%	532.40 eV 20.37%
Film-II	529.60 eV 4.54%	530.55 eV 50.19%	531.40 eV 19.01%	532.40 eV 26.26%
Film-III	529.60 eV 24.53%	530.40 eV 39.05%	531.50 eV 17.62%	532.40 eV 19.02%

Film-I 的 18.52% 增加至 Film-III 的 24.53%; 氧空位附近的氧(O^{III})含量略有减少, 由 Film-I 的 18.03% 减少至 Film-III 的 17.62%; 薄膜的表面氧(O^{IV})含量也有所减少, 由 Film-I 的 20.37% 减少至 Film-III 的 19.02%。

图9为3种薄膜中Sn3d区的XPS拟合谱。各状态Sn3d_{5/2}轨道的结合能分别为:(485.55±0.3)eV(Sn^I),(486.30±0.3)eV(Sn^{II})和(487.20±0.3)eV(Sn^{III})。相应的3d_{3/2}轨道的结合能分别为:(493.85±0.3)eV(Sn^I),(494.80±0.3)eV(Sn^{II})和(495.60±0.3)eV(Sn^{III})。Sn^I归属为间隙Sn⁴⁺的电子结合能; Sn^{II}归属为正常格点位置上Sn⁴⁺的电子结合能^[24]; Sn^{III}归属为源于与氧空位相邻的Sn⁴⁺^[14]。

表2为根据图9拟合结果得到的3种状态锡的电子结合能及其相对含量。表2显示:正常格点位置上Sn⁴⁺(Sn^{II})含量由未经N₂气氛处理样品(Film-I)的57.98%上升至N₂气氛热处理后样品(Film-II)的60.28%;薄膜中的间隙Sn⁴⁺(Sn^I)含量由Film-I的29.71%减少至Film-II的11.25%;与氧空位相邻的Sn⁴⁺(Sn^{III})含量则大大增加,由Film-I的12.30%增加至Film-II的28.47%。与Film-II相反,在未经N₂气氛热处理的条件下,正常格点位置上的Sn⁴⁺(Sn^{II})含量由正常比例偏锡酸锌(Film-I)中57.98%降低至锌含量较高的样品(Film-III)的55.25%;间隙Sn⁴⁺

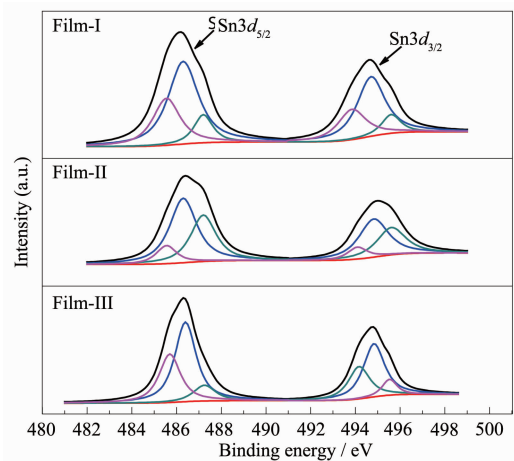


图9 不同薄膜中Sn3d区的XPS拟合谱

Fig.9 Peak fitting results of Sn3d narrow XPS spectra for different films

(Sn^I)含量由Film-I的29.71%增加至Film-III的33.53%,增加了3.82%;氧空位附近的Sn⁴⁺(Sn^{III})含量略有下降,由Film-I的12.30%下降至Film-III的11.22%。这3种薄膜样品中,各状态锡的含量变化趋势与各状态氧含量的变化相符合。

图10为3种薄膜中Zn2p区的XPS拟合谱。各状态Zn2p_{3/2}轨道的结合能分别为:(1 020.50±0.3)eV(Zn^I),(1 021.80±0.3)eV(Zn^{II})和(1 022.80±0.3)eV(Zn^{III})。相应的2p_{1/2}轨道的电子结合能分别为

表2 不同薄膜中Sn3d区的XPS拟合结果,包括Sn的各种状态的结合能和物质的量百分含量

Table 2 XPS data for Sn3d area of different films, including binding energies(eV) and relative area percentages(%)

	Sn ^I 3d _{5/2}	Sn ^{II} 3d _{5/2}	Sn ^{III} 3d _{5/2}	Sn ^I 3d _{3/2}	Sn ^{II} 3d _{3/2}	Sn ^{III} 3d _{3/2}
Film-I	485.55 eV 29.71%	486.30 eV 57.98%	487.20 eV 12.30%	493.85 eV 29.71%	494.70 eV 57.98%	495.60 eV 12.30%
Film-II	485.55 eV 11.25%	486.30 eV 60.28%	487.20 eV 28.47%	494.05 eV 11.25%	494.80 eV 60.28%	495.60 eV 28.47%
Film-III	485.70 eV 33.53%	486.40 eV 55.25%	487.25 eV 11.22%	494.05 eV 33.53%	494.83 eV 55.25%	495.53 eV 11.22%

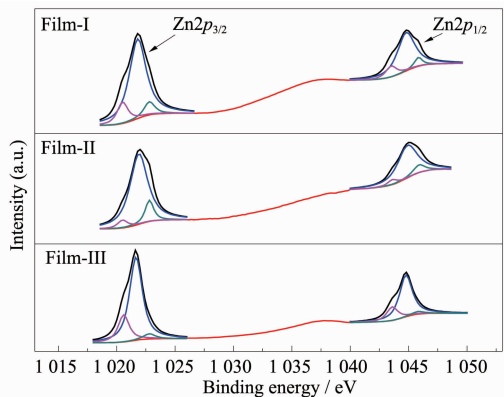


图 10 不同薄膜中 Zn2p 区的 XPS 拟合谱

Fig.10 Peak fitting results of Zn2p narrow XPS spectra for different films

1043.50 ± 0.3 eV (Zn^{I}), 1044.80 ± 0.3 eV (Zn^{II}) 和 1045.85 ± 0.3 eV (Zn^{III})。 Zn^{I} 可能源于进入间隙位置的 Zn^{2+} ; Zn^{II} 被归结为正常格点位置上 Zn^{2+} 的电子结

合能; Zn^{III} 被归结为源于与氧空位相邻的 Zn^{2+} 。

表 3 是根据图 10 的拟合结果而得到 Zn 的 3 种状态的电子结合能及其相对含量。表 3 显示: 正常格点位置上的 $Zn^{2+}(Zn^{II})$ 含量由未经 N_2 气氛处理样品(Film- I)的 78.33%上升至 N_2 气氛热处理后样品(Film- II)的 82.91%; 薄膜中的间隙 $Zn^{2+}(Zn^{I})$ 含量大大下降, 由 Film- I 的 13.69%下降至 Film- II 的 5.36%; 与氧空位相邻的 $Zn^{2+}(Zn^{III})$ 含量则增加, 由 Film- I 的 7.97%增加至 Film- II 的 11.73%。与此相反, 在未经 N_2 气氛热处理的条件下, 正常格点处的 $Zn^{2+}(Zn^{II})$ 含量由正常比例偏锡酸锌薄膜(Film- I)的 78.33%下降至锌含量较高样品(Film- III)的 74.33%; 薄膜中的间隙 $Zn^{2+}(Zn^{I})$ 含量则由 Film- I 的 13.69%增加至 Film- III 的 21.37%, 增加了 7.68%; 与氧空位相邻的 $Zn^{2+}(Zn^{III})$ 含量减少, 由 Film- I 的 7.97%减少至 Film- III 的 4.30%。

表 3 不同薄膜中 Zn2p 区的 XPS 拟合结果, 包括 Zn 的各种状态的结合能和物质的量百分含量

Table 3 XPS data of Zn2p area for different films, including binding energies (eV) and relative area percentages(%)

	$Zn^{I}2p_{3/2}$	$Zn^{II}2p_{3/2}$	$Zn^{III}2p_{3/2}$	$Zn^{I}2p_{1/2}$	$Zn^{II}2p_{1/2}$	$Zn^{III}2p_{1/2}$
Film- I	1020.50 eV	1021.80 eV	1022.80 eV	1043.50 eV	1044.80 eV	1045.85 eV
	13.69%	78.33%	7.97%	13.69%	78.33%	7.97%
Film- II	1020.50 eV	1021.90 eV	1022.80 eV	1043.60 eV	1044.90 eV	1045.90 eV
	5.36%	82.91%	11.73%	5.36%	82.91%	11.73%
Film- III	1020.60 eV	1021.65 eV	1022.80 eV	1043.60 eV	1044.77 eV	1045.80 eV
	21.37%	74.33%	4.30%	21.37%	74.33%	4.30%

以上 3 种薄膜样品中, 各状态锌含量变化与各状态锡含量的变化趋势完全一致。因此, 在 Film- II 中, 正常格点位置处 Zn^{2+} 、 Sn^{4+} 和 O^{2-} 含量相对于未经 N_2 气氛热处理的 Film- I 增加, 间隙阳离子(间隙 Zn^{2+} , 间隙 Sn^{4+})以及与间隙阳离子相邻的氧含量有较大幅度的降低, 与氧空位相邻的 Zn^{2+} 、 Sn^{4+} 和 O^{2-} 含量有较大幅度的增加。说明 N_2 气氛处理的 Film- II 中氧空位含量大幅增加; 而在 Film- III 中, 正常格点位置处 Zn^{2+} 、 Sn^{4+} 和 O^{2-} 含量较 Film- I 均有所减少, 间隙阳离子(间隙 Zn^{2+} 、间隙 Sn^{4+})以及与间隙阳离子相邻的氧含量均有较大幅度的增加, 并且间隙 Zn^{2+} 含量的增加较间隙 Sn^{4+} 更加显著(间隙 Zn^{2+} 含量增加了 7.68%而间隙 Sn^{4+} 含量只增加了 3.82%), 与氧空位相邻的 Zn^{2+} 、 Sn^{4+} 和 O^{2-} 含量有所减少但并不显著。说明当薄膜组成中锌含量略大于正常偏锡酸锌组成时, 间隙阳离子含量大幅增加, 并且间隙 Zn^{2+} 含量增加较间隙 Sn^{4+} 更加显著。

综合上述 $ZnSnO_3$ 晶体的 XPS 分析结果和电阻率变化, 可以看出, 对于 $ZnSnO_3$ 晶体, N_2 气氛热处理后薄膜中氧空位含量的增加是其电阻率上升的根本原因; 而在锌含量略高的 $ZnSnO_3$ 晶体中, 间隙 Zn^{2+} 离子和间隙 Sn^{4+} 离子含量均有所增加, 其中以间隙 Zn^{2+} 含量增加更为显著, 无疑这是薄膜电阻率明显下降的原因。由此可以看出, $ZnSnO_3$ 晶体中间隙阳离子的增加是提高其导电性能的关键, 而氧空位的形成则不利于提高导电性能。显然, 偏锡酸锌 $ZnSnO_3$ 晶体的这一导电机理完全不同于锡酸锌 Zn_2SnO_4 晶体, 而进一步的细节有待更深入的研究。

2.4 薄膜紫外-可见透过率分析

图 11 为 800 °C烧结薄膜和 1 000 °C烧结后薄膜的紫外-可见透过率曲线。两者在 400~900 nm 可见光波段的透过率均高于 80%。同时可以看到, 800 °C烧结的锡酸锌 Zn_2SnO_4 和 SnO_2 混合晶相薄膜在小于 480 和 500~700 nm 波段的透过率略优于

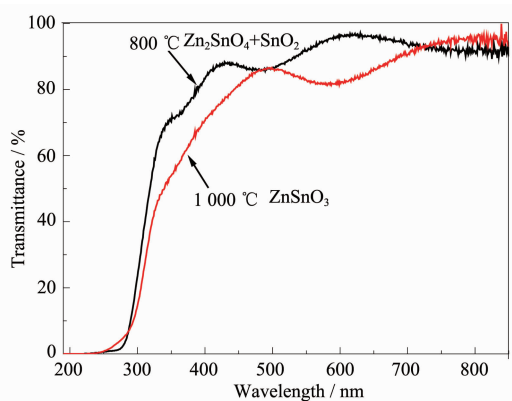


图 11 800 和 1 000 ℃烧结后薄膜的紫外-可见透射光谱

Fig.11 UV-Vis transmittance spectra for the films heated at 800 and 1 000 °C

1 000 ℃下烧结的偏锡酸锌 ZnSnO_3 薄膜。

3 结 论

(1) 采用 Sol-Gel 法, 以 $\text{Zn}(\text{Ac})_2 \cdot 2\text{H}_2\text{O}$ 和 $\text{SnCl}_4 \cdot 5\text{H}_2\text{O}$ 作为前驱物, $\text{HOCH}_2\text{CH}_2\text{OCH}_3$ 为溶剂, 所制凝胶膜在 1 000 ℃烧结 6 h 后得单一晶相的 ZnSnO_3 薄膜;

(2) 偏锡酸锌 ZnSnO_3 晶体具有较低的电阻率。偏锡酸锌 ZnSnO_3 晶体的导电机理研究表明, 晶格中间隙阳离子含量的增加有助于降低其电阻率, 而氧空位的形成则使其电阻率升高;

(3) 偏锡酸锌 ZnSnO_3 晶相薄膜在 400~900 nm 的可见光波段有良好的透过率, 可达 80% 以上。

参考文献:

- [1] Parilla P A, Warmsingh C, Keyes B M, et al. *Thin Solid Films*, **2002**, *411*:152-160
- [2] Calnan S, Tiwari A N. *Thin Solid Films*, **2010**, *518*:1839-1849
- [3] HUANG Shu-Lai(黄树来), MA Jin(马瑾), LIU Xiao-Mei(刘晓梅), et al. *Chinese J. Semiconductors (Bandaoti Xuebao)*, **2004**, *25*:56-59
- [4] Hoel C A, Mason T O, Gaillard J F, et al. *Chem. Mater.*, **2010**, *22*:3569-3579
- [5] Popovi J, Greta B, Tkalec E, et al. *Mater. Sci. Eng. B*, **2011**, *176*:93-98
- [6] Nasr B, Dasgupta S, Wang D, et al. *J. Appl. Phys.*, **2010**, *108*:103721-1-103721-6
- [7] Tsay C H, Cheng H C, Tung Y T, et al. *Thin Solid Films*, **2008**, *517*:1032-1036
- [8] Ilican S, Caglar M, Caglar Y. *Appl. Surf. Sci.*, **2010**, *256*:7204-7210
- [9] Moholkar A V, Pawar S M, Rajpure K Y, et al. *Appl. Surf. Sci.*, **2009**, *255*:9358-9364
- [10] Babar A R, Shinde S S, Moholkar A V, et al. *J. Alloys Compd.*, **2011**, *509*:3108-3115
- [11] Coutts T J, Young D L, Li X, et al. *J. Vac. Sci. Technol. A*, **2000**, *18*(6):2646-2660
- [12] Jain V K, Kumar P, Bhandari D, et al. *Thin Solid Films*, **2010**, *519*:1082-1086
- [13] Lee Y E, Norton D P, Budai J D, et al. *J. Appl. Phys.*, **2001**, *90*:3863-3866
- [14] Jain V K, Kumar P, Kumar M, et al. *J. Alloys Compd.*, **2011**, *509*:3541-3546
- [15] Hayashi Y, Kondo K, Murai K, et al. *Vacuum*, **2004**, *74*:607-611
- [16] Kurz A, Aegeuter M A. *Thin Solid Films*, **2008**, *516*:4513-4518
- [17] Kurz A, Brakecha K, Puetz J, et al. *Thin Solid Films*, **2006**, *502*:212-218
- [18] Ko J H, Kim I H, Kim D, et al. *Appl. Surf. Sci.*, **2007**, *253*:7398-7403
- [19] Knapp C E, Hyett G, Parkin I P, et al. *Chem. Mater.*, **2011**, *23*:1719-1726
- [20] Tetsuka H, Shan Y J, Tezuka K, et al. *Vacuum*, **2006**, *80*:1038-1041
- [21] Inoue K, Tominaga K, Tsuduki T, et al. *Vacuum*, **2009**, *83*:552-556
- [22] Minami T, Tsukada S, Minamino Y, et al. *J. Vac. Sci. Technol. A*, **2005**, *23*(4):1128-1132
- [23] Minami T, Miyata T, Yamamoto T. *Surf. Coat. Technol.*, **1998**, *108-109*:583-587
- [24] Fan J C C, Goodenough J B. *J. Appl. Phys.*, **1977**, *48*:3524-3531
- [25] Minami T. *MRS Bull.*, **2000**, *25*:38-44